

IV. MKP – vynucené kmitání

- 1. Rovnice vynuceného kmitání**
- 2. Modální analýza – rozklad do vlastních tvarů**
- 3. Přímá integrace pohybových rovnic**
 - 3.1 Metoda centrálních diferencí**
 - 3.2 Newmarkova metoda**
 - 3.3 Wilsonova metoda**
 - 3.4 Stabilita a chyby numerické integrace**
 - 3.5 Příklad – metoda centrálních diferencí**
- 4. Analýza ve frekvenční oblasti**
 - 4.1 Ustálené kmitání – přímé řešení**
 - 4.2 Ustálené kmitání – rozklad do vlastních tvarů**
- 5. Příklady**
 - 5.1 Odezva základu turbosoustrojí na harmonické zatížení**
 - 5.2 Zavěšený most – náhlé přerušení závěsu**



1. Rovnice vynuceného kmitání

Soustava je zatížena budicími silami $\mathbf{p}(t)$

Cílem je stanovit dynamickou odezvu systému

pohybové rovnice $\boxed{\mathbf{K} \mathbf{u}(t) + \mathbf{C} \dot{\mathbf{u}}(t) + \mathbf{M} \ddot{\mathbf{u}}(t) = \mathbf{p}(t)}$ ←

počáteční podm. $\mathbf{u}(0) = \mathbf{u}_0 \quad \dot{\mathbf{u}}(0) = \dot{\mathbf{u}}_0$

soustava N diferenciálních rovnic II. řádu (N – počet st. volnosti)

neznámé: $\mathbf{u}(t)$ – časový průběh posunutí

(MKP: $\mathbf{u}(t) \sim \mathbf{r}(t)$ – vektor uzlových posunutí)

řešení - modální analýza (rozklad do vlastních tvarů)

- přímá integrace pohybových rovnic
- analýza ve frekvenční oblasti



2. Modální analýza – rozklad do vlastních tvarů

základní idea: odezva se stanoví jako kombinace vlastních tvarů kmitání ϕ_i pomocí modálních souřadnic $q_i(t)$ ($i = 1, 2, \dots, N$)

$$\mathbf{u}(t) = \sum_{i=1}^N \phi_i q_i(t) = \mathbf{\Phi} \mathbf{q}(t)$$



dosazení do pohybových rovnic $\mathbf{K} \mathbf{u}(t) + \mathbf{C} \dot{\mathbf{u}}(t) + \mathbf{M} \ddot{\mathbf{u}}(t) = \mathbf{p}(t)$

$$\mathbf{K} \mathbf{\Phi} \mathbf{q}(t) + \mathbf{C} \mathbf{\Phi} \dot{\mathbf{q}}(t) + \mathbf{M} \mathbf{\Phi} \ddot{\mathbf{q}}(t) = \mathbf{p}(t)$$



$$\mathbf{\Phi}^T \mathbf{K} \mathbf{\Phi} \mathbf{q}(t) + \mathbf{\Phi}^T \mathbf{C} \mathbf{\Phi} \dot{\mathbf{q}}(t) + \mathbf{\Phi}^T \mathbf{M} \mathbf{\Phi} \ddot{\mathbf{q}}(t) = \mathbf{\Phi}^T \mathbf{p}(t)$$

pro normované vlastní tvary dále platí

$$\mathbf{\Omega}^2 \mathbf{q}(t) + \underbrace{\mathbf{\Phi}^T \mathbf{C} \mathbf{\Phi}} \dot{\mathbf{q}}(t) + \mathbf{I} \ddot{\mathbf{q}}(t) = \mathbf{\Phi}^T \mathbf{p}(t)$$

obecně není diagonální matice



2. Modální analýza – rozklad do vlastních tvarů

Klasický útlum

$\Phi^T \mathbf{C} \Phi$ je diagonální matice, jejíž prvky jsou $2\xi_i \omega_i$
 tj. vlastní tvary jsou ortogonální též k matici útlumu
 ξ_i - koeficient poměrného útlumu i -tého vlast. tvaru
 ω_i - i -tá vlastní frekvence

$$\Omega^2 \mathbf{q}(t) + \Phi^T \mathbf{C} \Phi \dot{\mathbf{q}}(t) + \mathbf{I} \ddot{\mathbf{q}}(t) = \Phi^T \mathbf{p}(t)$$



$$\omega_i^2 q_i(t) + 2\xi_i \omega_i \dot{q}_i(t) + \ddot{q}_i(t) = \phi_i^T \mathbf{p}(t) \quad \leftarrow$$

soustava N nezávislých rovnic pro $q_i(t)$ \leftarrow 1. výhoda
 řešení - např. Duhamelův integrál (viz soustava s 1SV)

obvykle $i = 1, 2, \dots, P$ $P \leq N$ \leftarrow 2. výhoda

počet uvažovaných vl. tvarů P je dán frekvenčním složením zatížení



2. Modální analýza – rozklad do vlastních tvarů

Rayleighův útlum – klasický, proporcionální útlum

$\mathbf{C} = \alpha \mathbf{M} + \beta \mathbf{K}$ ← lineární kombinace matic tuhosti a hmotnosti

$$\Phi^T \mathbf{C} \Phi = \alpha \Phi^T \mathbf{M} \Phi + \beta \Phi^T \mathbf{K} \Phi \quad \Rightarrow \quad \xi_i = \frac{\alpha}{2\omega_i} + \frac{\beta}{2} \omega_i$$

$$2\xi_i \omega_i = \alpha \cdot 1 + \beta \omega_i^2$$

koeficienty α , β lze určit, známe-li součinitele poměrného útlumu ξ_i a ξ_j pro dvě rozdílné vlastní frekvence ω_i a ω_j

$$\frac{1}{2} \begin{bmatrix} 1/\omega_i & \omega_i \\ 1/\omega_j & \omega_j \end{bmatrix} \begin{Bmatrix} \alpha \\ \beta \end{Bmatrix} = \begin{Bmatrix} \xi_i \\ \xi_j \end{Bmatrix} \Rightarrow \alpha, \beta$$

známe-li součinitel útlumu ξ pouze pro první vl. frekvenci ω_1 a předpokládáme-li, že nejméně je tlumen 1. tvar, platí:

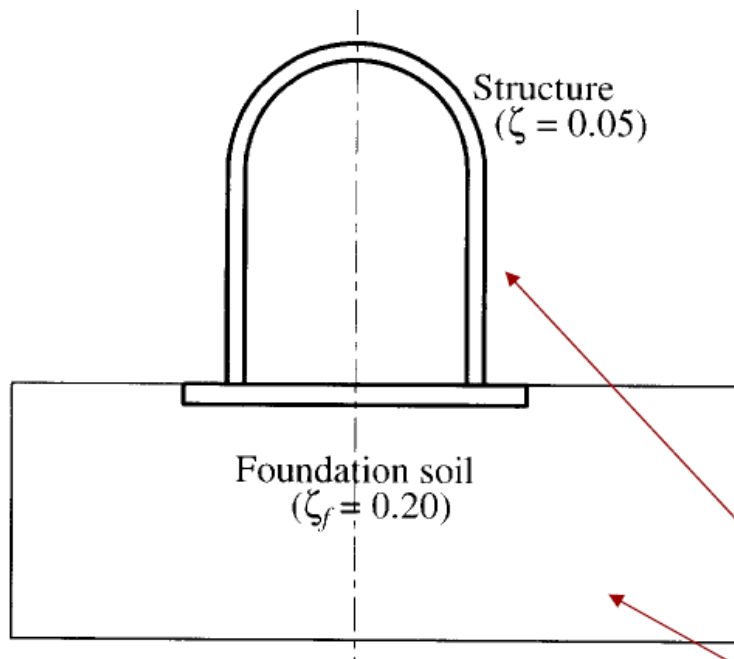
$$\alpha = \xi \omega_1 \quad \beta = \frac{\xi}{\omega_1}$$



2. Modální analýza – rozklad do vlastních tvarů

Neklasický útlum

Interakce konstrukce a podloží



Sestavení matic pro systém
konstrukce - podloží

$$\begin{bmatrix} \text{Structure} & & \\ \mathbf{k} & & \\ & I & \\ & & \text{Soil} \\ & & \mathbf{k}_f \end{bmatrix} \quad \begin{bmatrix} \text{Structure} & & \\ \mathbf{m} & & \\ & I & \\ & & \text{Soil} \\ & & \mathbf{m}_f \end{bmatrix}$$

$$\begin{bmatrix} \text{Structure} & & \\ \mathbf{c} & & \\ & I & \\ & & \text{Soil} \\ & & \mathbf{c}_f \end{bmatrix} \quad I \text{ denotes degrees of freedom at the interface}$$

$$\mathbf{C} = \alpha \mathbf{M} + \beta \mathbf{K} \quad \xi \approx 0.05$$

$$\mathbf{C}_f = \alpha_f \mathbf{M}_f + \beta_f \mathbf{K}_f \quad \xi_f \approx 0.20$$

Jiný příklad neklasického útlumu – diskrétní tlumiče
(matice útlumu může být diagonální)



2. Modální analýza – rozklad do vlastních tvarů

Volné kmitání – útlum klasický, normované tvary kmitání

$$\mathbf{K} \mathbf{u}(t) + \mathbf{C} \dot{\mathbf{u}}(t) + \mathbf{M} \ddot{\mathbf{u}}(t) = \mathbf{0} \quad \mathbf{u}(0) = \mathbf{u}_0 \quad \dot{\mathbf{u}}(0) = \dot{\mathbf{u}}_0$$

$$\mathbf{u}(t) = \sum_{i=1}^N \boldsymbol{\phi}_i q_i(t) \quad \downarrow$$

$$\omega_i^2 q_i(t) + 2\xi_i \omega_i \dot{q}_i(t) + \ddot{q}_i(t) = 0 \quad q_i(0) = q_{i0} \quad \dot{q}_i(0) = \dot{q}_{i0}$$

řešení modální rovnice viz soustavy s 1 SV:

$$q_i(t) = e^{-\xi_i \omega_i t} \left(q_i(0) \cos \omega_{Di} t + \frac{\dot{q}_i(0) + \xi_i \omega_i q_i(0)}{\omega_{Di}} \sin \omega_{Di} t \right)$$

$$\omega_{Di} = \omega_i \sqrt{1 - \xi_i^2}$$



2. Modální analýza – rozklad do vlastních tvarů

Počáteční podmínky pro modální souřadnice $q_i(0) ; \dot{q}_i(0)$

$$\mathbf{u}(t) = \sum_{i=1}^N \boldsymbol{\phi}_i q_i(t) \quad \xrightarrow{\boldsymbol{\phi}_i^T \mathbf{M} \times} \quad \boldsymbol{\phi}_i^T \mathbf{M} \mathbf{u}(t) = \sum_{i=1}^N \boldsymbol{\phi}_i^T \mathbf{M} \boldsymbol{\phi}_i q_i(t)$$

vzhledem k podmínkám ortogonality platí:

$$\boldsymbol{\phi}_i^T \mathbf{M} \mathbf{u}(t) = \boldsymbol{\phi}_i^T \mathbf{M} \boldsymbol{\phi}_i q_i(t) \quad \longrightarrow \quad q_i(t) = \frac{\boldsymbol{\phi}_i^T \mathbf{M} \mathbf{u}(t)}{\boldsymbol{\phi}_i^T \mathbf{M} \boldsymbol{\phi}_i}$$

pro normované tvary platí:

$$q_i(t) = \boldsymbol{\phi}_i^T \mathbf{M} \mathbf{u}(t)$$

$$q_i(0) = \boldsymbol{\phi}_i^T \mathbf{M} \mathbf{u}(0)$$

$$\dot{q}_i(0) = \boldsymbol{\phi}_i^T \mathbf{M} \dot{\mathbf{u}}(0)$$



3. Přímá integrace pohybových rovnic

základní idea: pohybové rovnice se postupně řeší jednotlivých okamžicích t_i, t_{i+1} , časová osa se rozdělí pomocí délky integračního kroku

$$\Delta t = t_{i+1} - t_i$$

derivace se nahradí diferencemi, soustava diferenciálních rovnic se převede na rovnice algebraické

označení: $\mathbf{p}_i \equiv \mathbf{p}(t_i)$ $\mathbf{u}_i \equiv \mathbf{u}(t_i)$ $\dot{\mathbf{u}}_i \equiv \dot{\mathbf{u}}(t_i)$ $\ddot{\mathbf{u}}_i \equiv \ddot{\mathbf{u}}(t_i)$

$$\mathbf{M}\ddot{\mathbf{u}}_i + \mathbf{C}\dot{\mathbf{u}}_i + \mathbf{K}\mathbf{u}_i = \mathbf{p}_i \Rightarrow \mathbf{M}\ddot{\mathbf{u}}_{i+1} + \mathbf{C}\dot{\mathbf{u}}_{i+1} + \mathbf{K}\mathbf{u}_{i+1} = \mathbf{p}_{i+1}$$

neznámé: \mathbf{u}_{i+1} $\dot{\mathbf{u}}_{i+1}$ $\ddot{\mathbf{u}}_{i+1}$

metody řešení:

explicitní – pohybová rovnice se používá v čase t_i

implicitní – pohybová rovnice se používá v čase t_{i+1}



3. Přímá integrace pohybových rovnic

stejný postup se použije pro modální analýzu pro obecný neklasický útlum

$$\mathbf{K} \mathbf{u}(t) + \mathbf{C} \dot{\mathbf{u}}(t) + \mathbf{M} \ddot{\mathbf{u}}(t) = \mathbf{p}(t) \quad \mathbf{u}(t) = \sum_{i=1}^N \boldsymbol{\phi}_i q_i(t) = \boldsymbol{\Phi} \mathbf{q}(t)$$

$$\underbrace{\boldsymbol{\Phi}^T \mathbf{K} \boldsymbol{\Phi}}_{\hat{\mathbf{K}}} \mathbf{q}(t) + \underbrace{\boldsymbol{\Phi}^T \mathbf{C} \boldsymbol{\Phi}}_{\hat{\mathbf{C}}} \dot{\mathbf{q}}(t) + \underbrace{\boldsymbol{\Phi}^T \mathbf{M} \boldsymbol{\Phi}}_{\hat{\mathbf{M}}} \ddot{\mathbf{q}}(t) = \underbrace{\boldsymbol{\Phi}^T \mathbf{p}(t)}_{\hat{\mathbf{p}}(t)}$$

$$\hat{\mathbf{K}} \mathbf{q}(t) + \hat{\mathbf{C}} \dot{\mathbf{q}}(t) + \hat{\mathbf{M}} \ddot{\mathbf{q}}(t) = \hat{\mathbf{p}}(t) \quad \leftarrow \text{modální rovnice}$$

$$\hat{\mathbf{M}} \ddot{\mathbf{q}}_i + \hat{\mathbf{C}} \dot{\mathbf{q}}_i + \hat{\mathbf{K}} \mathbf{q}_i = \hat{\mathbf{p}}_i \Rightarrow \hat{\mathbf{M}} \ddot{\mathbf{q}}_{i+1} + \hat{\mathbf{C}} \dot{\mathbf{q}}_{i+1} + \hat{\mathbf{K}} \mathbf{q}_{i+1} = \hat{\mathbf{p}}_{i+1}$$

neznámé: $\mathbf{q}_{i+1} \quad \dot{\mathbf{q}}_{i+1} \quad \ddot{\mathbf{q}}_{i+1}$

výhoda řešení: obvykle malý počet modálních rovnic P ($i = 1, 2, \dots, P$)

příklad neklasického útlumu: interakce konstrukce s podložím



3. Přímá integrace pohybových rovnic

3.1 Metoda centrálních diferencí – explicitní metoda pohybové rovnice

přímá integrace $x_n \rightarrow \mathbf{u}_i$ $f_n \rightarrow \mathbf{p}_i$ $M, C, K \rightarrow \mathbf{M}, \mathbf{C}, \mathbf{K}$

modální analýza $x_n \rightarrow \mathbf{q}_i$ $f_n \rightarrow \hat{\mathbf{p}}_i$ $M, C, K \rightarrow \hat{\mathbf{M}}, \hat{\mathbf{C}}, \hat{\mathbf{K}}$

$$\begin{array}{l} \dot{x}_n = \frac{x_{n+1} - x_{n-1}}{2\Delta t} \\ \ddot{x}_n = \frac{x_{n+1} - 2x_n + x_{n-1}}{\Delta t^2} \end{array} \quad \rightarrow \quad \begin{array}{l} M \ddot{x}_n + C \dot{x}_n + K x_n = f_n \\ M \left[\frac{x_{n+1} - 2x_n + x_{n-1}}{\Delta t^2} \right] + C \left[\frac{x_{n+1} - x_{n-1}}{2\Delta t} \right] + K x_n = f_n \end{array}$$

aproximace rychlosti a zrychlení



pohybová rovnice v čase t

$$x_{n+1} = \left[\frac{1}{\Delta t^2} M + \frac{1}{2\Delta t} C \right]^{-1} \left[f_n - \left(K - \frac{2}{\Delta t^2} M \right) x_n - \left(\frac{1}{\Delta t^2} M - \frac{1}{2\Delta t} C \right) x_{n-1} \right]$$

soustava N algebraických rovnic $\rightarrow x_{n+1}$



3. Přímá integrace pohybových rovnic

3.1 Metoda centrálních diferencí

pro **diagonální** matice M a C ($C=0$ nebo $C=\alpha M$) se soustava rozpadá na **nezávislé** rovnice ← výhoda

délka integračního kroku

1. metoda je podmíněně stabilní – délka integračního kroku je omezena nejkratší periodou T_M
(závisí na rozměru nejtužšího prvku)

$$\Delta t \leq \frac{T_M}{\pi}$$

2. v modální analýze délka je též závislá na periodě T_J
nejvyššího uvažovaného vl.tvaru

$$\Delta t \leq \frac{T_J}{20}$$

3. je nutné správně aproximovat zatížení, např. akceleroogramy jsou obvykle udávány pro časový krok 0.02 s.



3. Přímá integrace pohybových rovnic

3.2 Newmarkova metoda – implicitní metoda

$$\begin{aligned} x_{n+1} &= x_n + \Delta t \dot{x}_n + (0.5 - \beta) \Delta t^2 \ddot{x}_n + \beta \ddot{x}_{n+1} \Delta t^2 \\ \dot{x}_{n+1} &= \dot{x}_n + (1 - \gamma) \Delta t \ddot{x}_n + \gamma \Delta t \ddot{x}_{n+1} \end{aligned}$$

$$\rightarrow M \ddot{x}_{n+1} + C \dot{x}_{n+1} + K x_{n+1} = f_{n+1}$$

pohybová rovnice v čase $t + \Delta t$

aproximace posunutí a rychlosti

$$\begin{aligned} &[M + \gamma \Delta t C + \beta \Delta t^2 K] \ddot{x}_{n+1} \\ &= f_{n+1} - C [\dot{x}_n + (1 - \gamma) \Delta t \ddot{x}_n] - K [x_n + \Delta t \dot{x}_n + (0.5 - \beta) \Delta t^2 \ddot{x}_n] \end{aligned}$$

soustava N algebraických rovnic $\rightarrow \ddot{x}_{n+1}$

délka integračního kroku

metoda je stabilní pro vhodnou volbu parametrů

$\gamma = 1/2$ a $\beta = 1/4$ (metoda průměrného zrychlení)

délka integračního kroku je však omezena

nejkratší periodou T_M zatížení

$$\Delta t \leq \frac{T_M}{20}$$



3. Přímá integrace pohybových rovnic

3.3 Wilsonova metoda – implicitní metoda

délka integračního kroku $\mathcal{G}\Delta t = t_{i+1} - t_i$

metoda je nepodmíněně stabilní pro $\mathcal{G} \geq 1,37$

$$x_{n+1} = x_n + \mathcal{G}\Delta t \dot{x}_n + \frac{\mathcal{G}^2 \Delta t^2}{6} (2\ddot{x}_n + \ddot{x}_{n+1})$$

$$\dot{x}_{n+1} = \dot{x}_n + \frac{\mathcal{G}\Delta t}{2} (\ddot{x}_n + \ddot{x}_{n+1})$$

aproximace posunutí a rychlosti



$$M\ddot{x}_{n+1} + C\dot{x}_{n+1} + Kx_{n+1} = f_{n+1}$$

pohybová rovnice v čase $t + \mathcal{G}\Delta t$



soustava N algebraických rovnic $\rightarrow \ddot{x}_{n+1}$

metoda zavádí tzv. *numerický útlum*

- i v případě netlumeného kmitání se v čase výchylky snižují
- potlačuje se (nežádoucí) vliv vysokých vlastních tvarů a frekvencí na odezvu systému



3. Přímá integrace pohybových rovnic

3.4 Stabilita a chyby numerické integrace

Integration Method	Type of Method	Critical Step Size (Δt_{cr})
Central Different	Explicit	$\frac{2}{\omega} \left(\Delta t \leq \frac{T_J}{\pi} \right)$
Newmark Method $\gamma = \frac{1}{2}, \beta = \frac{1}{6}$ (Linear Acceleration)	Implicit	$\frac{3.464}{\omega}$ ($\Delta t \leq 0.551T_J$)
Newmark Method $\gamma = \frac{1}{2}, \beta = \frac{1}{4}$ (Constant-Average-Acceleration)	Implicit	Unconditionally Stable
Newmark Method $\gamma = \frac{1}{2}, \beta = 0$ (Central Difference)	Explicit	$\frac{2}{\omega} \left(\Delta t \leq \frac{T_J}{\pi} \right)$
Wilson- θ	Implicit	Unconditionally Stable when $\theta \geq 1.37$

more
accurate
than

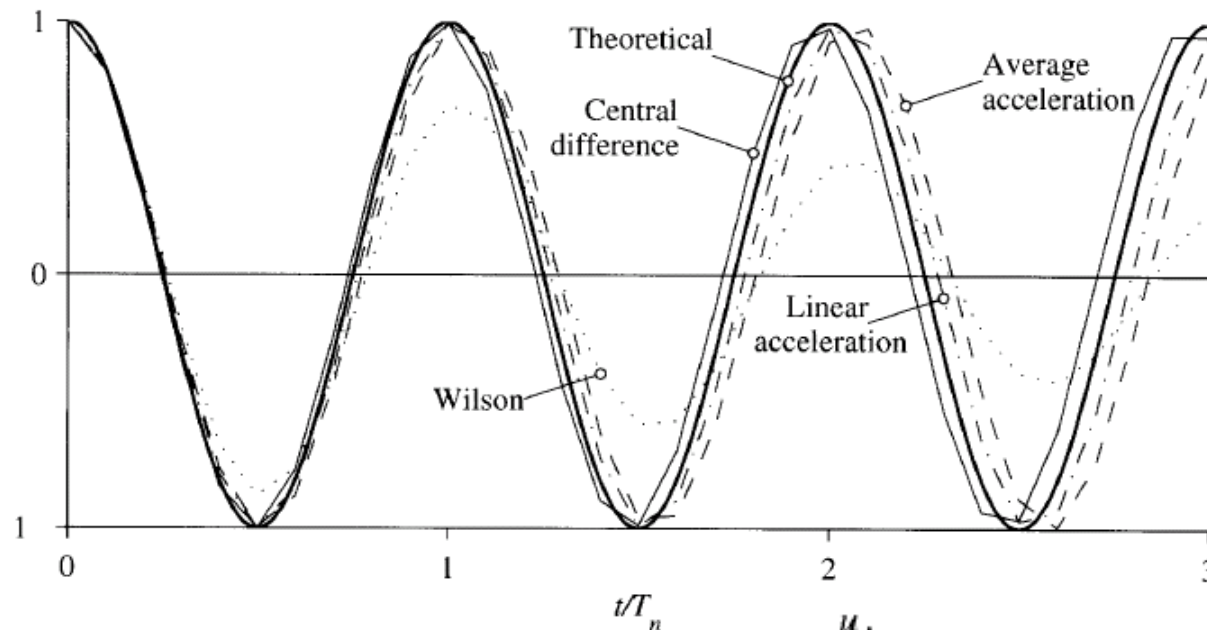


3. Přímá integrace pohybových rovnic

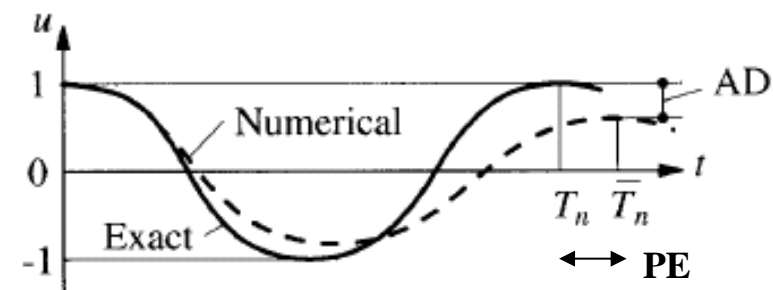
3.4 Stabilita a chyby numerické integrace

volné kmitání:

$$m\ddot{u} + ku = 0 \quad u(0) = 1 \quad \text{and} \quad \dot{u}(0) = 0 \Rightarrow u(t) = \cos \omega_n t$$



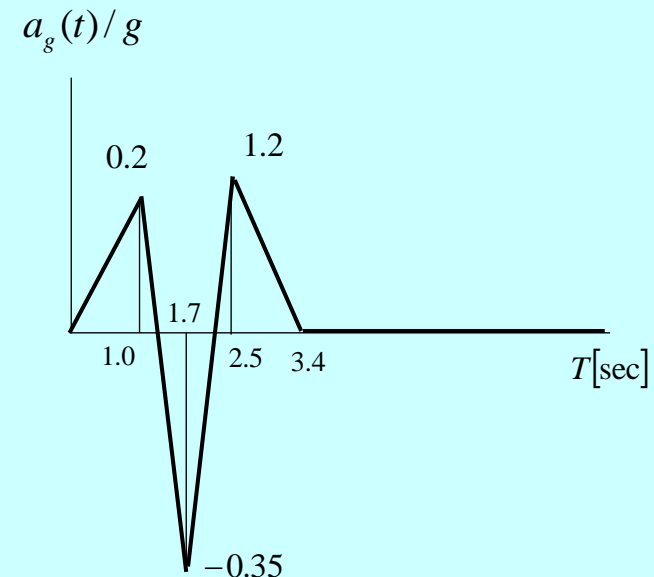
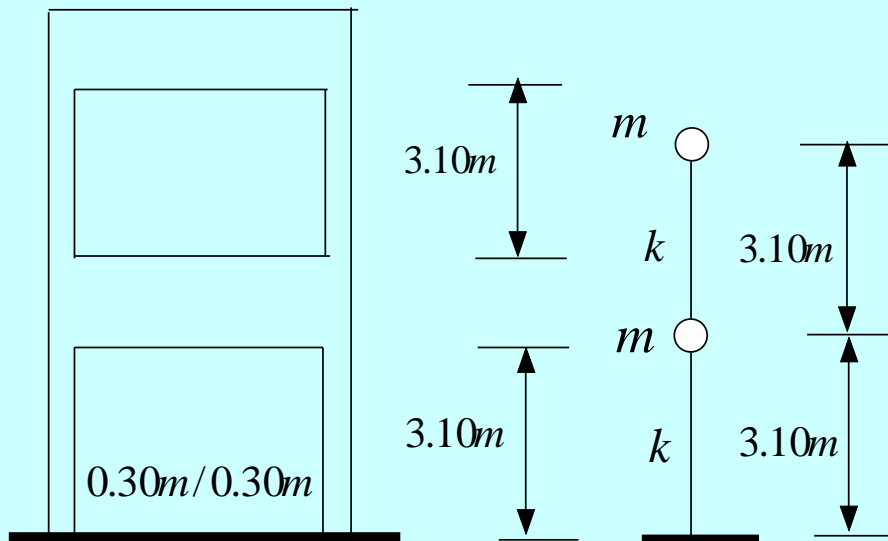
Chyby: snižování amplitudy (AD)
prodlužování periody (PE)



3. Přímá integrace pohybových rovnic

3.5 Příklad – metoda centrálních diferencí

$$E = 3.43 \cdot 10^7 \text{ kN/m}^2, I = \frac{bh^3}{12} = \frac{0.3 \cdot 0.3^3}{12} = 6.75 \cdot 10^{-4}$$



$$k = 2 \cdot \frac{12EI}{L^3} = 2 \cdot \frac{12 \cdot 3.43 \cdot 10^7 \cdot 6.75 \cdot 10^{-4}}{3.1^4} = 18640 \text{ kN/m}$$

$$m = 60 \text{ kN sec}^2/\text{m}$$

$$K = \begin{bmatrix} k & -k \\ -k & 2k \end{bmatrix} = \begin{bmatrix} 18640 & -18640 \\ -18640 & 37280 \end{bmatrix} \quad M = \begin{bmatrix} m & 0 \\ 0 & m \end{bmatrix} = \begin{bmatrix} 60 & 0 \\ 0 & 60 \end{bmatrix}$$

$$T_1 = 0.58 \text{ sec} \quad T_2 = 0.22 \text{ sec}$$



3.5 Příklad – metoda centrálních diferencí

Explicitní metoda
integrace
netlumené kmitání

$$x_{n+1} = \left[\frac{1}{\Delta t^2} M \right]^{-1} \left[f_n - \left(K - \frac{2}{\Delta t^2} M \right) x_n - \left(\frac{1}{\Delta t^2} M \right) x_{n-1} \right]$$

$$x_{n+1} = \left[\frac{1}{\Delta t^2} M \right]^{-1} (f_n - Kx_n) + 2x_n - x_{n-1}$$

$$\begin{bmatrix} x_1 \\ x_2 \end{bmatrix}_{n+1} = \Delta t^2 \begin{bmatrix} \frac{1}{M(1,1)} & 0 \\ 0 & \frac{1}{M(2,2)} \end{bmatrix} \left\{ \begin{bmatrix} f_1 \\ f_2 \end{bmatrix}_n - \begin{bmatrix} K(1,1) & K(1,2) \\ K(2,1) & K(2,2) \end{bmatrix} \begin{bmatrix} x_1 \\ x_2 \end{bmatrix}_n \right\} + 2 \begin{bmatrix} x_1 \\ x_2 \end{bmatrix}_n - \begin{bmatrix} x_1 \\ x_2 \end{bmatrix}_{n-1}$$

$$\left\{ \begin{aligned} x_{n+1}^1 &= \frac{\Delta t^2}{M(1,1)} \{ f_1 - K(1,1) * x_n^1 - K(1,2) * x_n^2 \} + 2 * x_n^1 - x_{n-1}^1 \\ x_{n+1}^2 &= \frac{\Delta t^2}{M(2,2)} \{ f_2 - K(2,1) * x_n^1 - K(2,2) * x_n^2 \} + 2 * x_n^2 - x_{n-1}^2 \end{aligned} \right.$$



3.5 Příklad – metoda centrálních diferencí

seizmické zatížení – zrychlení v základové spáře $a(t)$

$$\left\{ \begin{aligned} x_{n+1}^1 &= \frac{\Delta t^2}{M(1,1)} \left\{ -M(1,1) * a_n - K(1,1) * x_n^1 - K(1,2) * x_n^2 \right\} + 2 * x_n^1 - x_{n-1}^1 \\ x_{n+1}^2 &= \frac{\Delta t^2}{M(2,2)} \left\{ -M(2,2) * a_n - K(2,1) * x_n^1 - K(2,2) * x_n^2 \right\} + 2 * x_n^2 - x_{n-1}^2 \end{aligned} \right.$$

pro danou úlohu – 2 neznámé

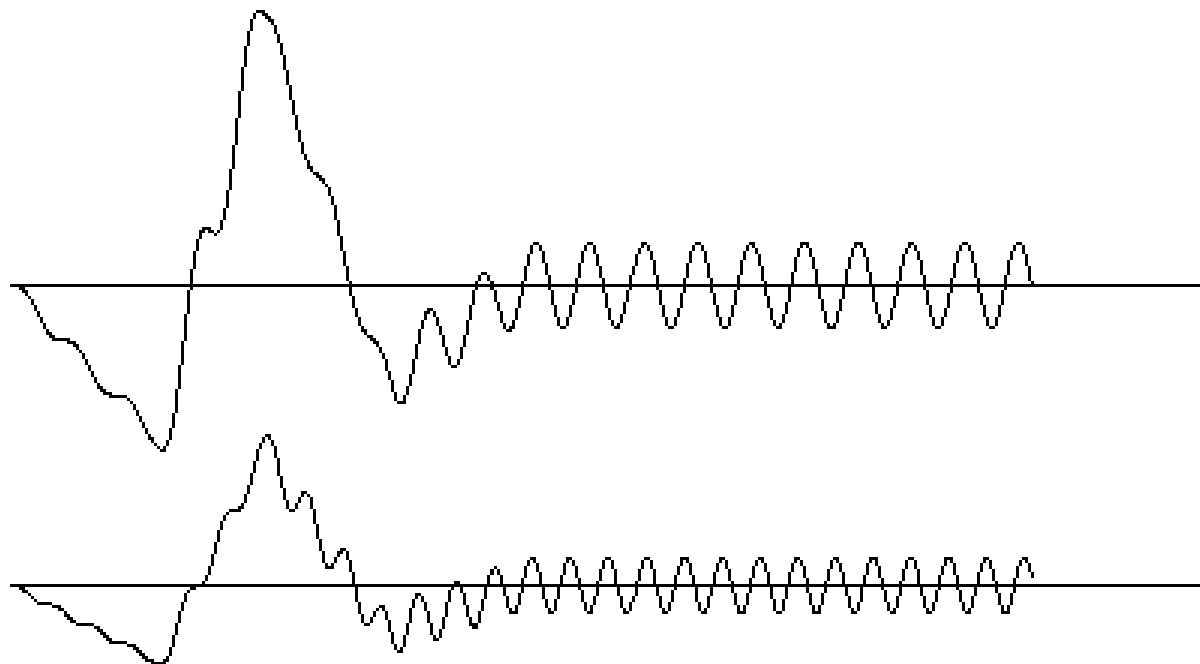
$$\left\{ \begin{aligned} x_{n+1}^1 &= \frac{\Delta t^2}{60} \left\{ -60 * a_n - 18640 * x_n^1 + 18640 * x_n^2 \right\} + 2 * x_n^1 - x_{n-1}^1 \\ x_{n+1}^2 &= \frac{\Delta t^2}{60} \left\{ -60 * a_n + 18640 * x_n^1 - 37280 * x_n^2 \right\} + 2 * x_n^2 - x_{n-1}^2 \end{aligned} \right.$$



3.5 Příklad – metoda centrálních diferencí

$$\Delta t = 0.01 \text{ sec}$$

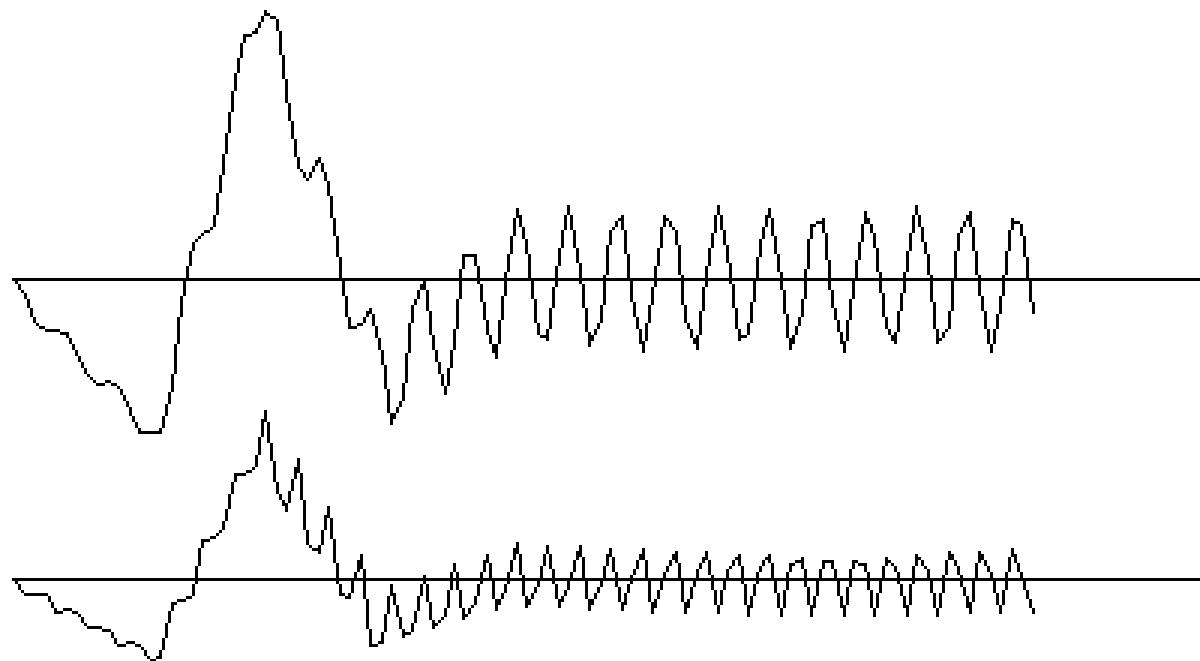
```
U1MAX  1.138665E-02  
U2MAX  6.247208E-03  
MAX BASE SHEAR  236.0421  
Ok
```



3.5 Příklad – metoda centrálních diferencí

$$\Delta t = 0.05 \text{ sec}$$

U1MAX 1.110161E-02
U2MAX 7.008101E-03
MAX BASE SHEAR 263.9425
Ok

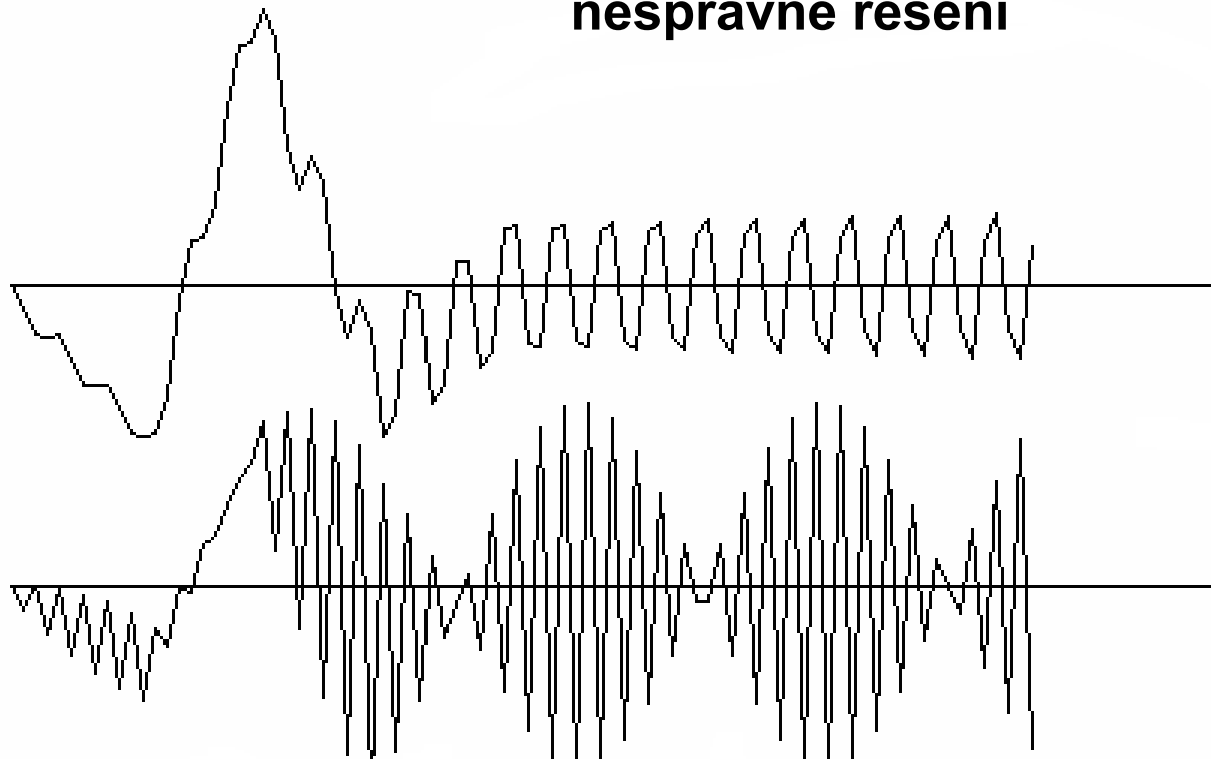


3.5 Příklad – metoda centrálních diferencí

$$\Delta t = 0.08 \text{ sec} > \Delta t_{crit} = \frac{T_{min}}{\pi} = \frac{0.22}{\pi} \approx 0.07$$

U1MAX 1.150803E-02
U2MAX 7.565412E-03
MAX BASE SHEAR 329.8402
Ok

nesprávné řešení



3.5 Příklad – metoda centrálních diferencí

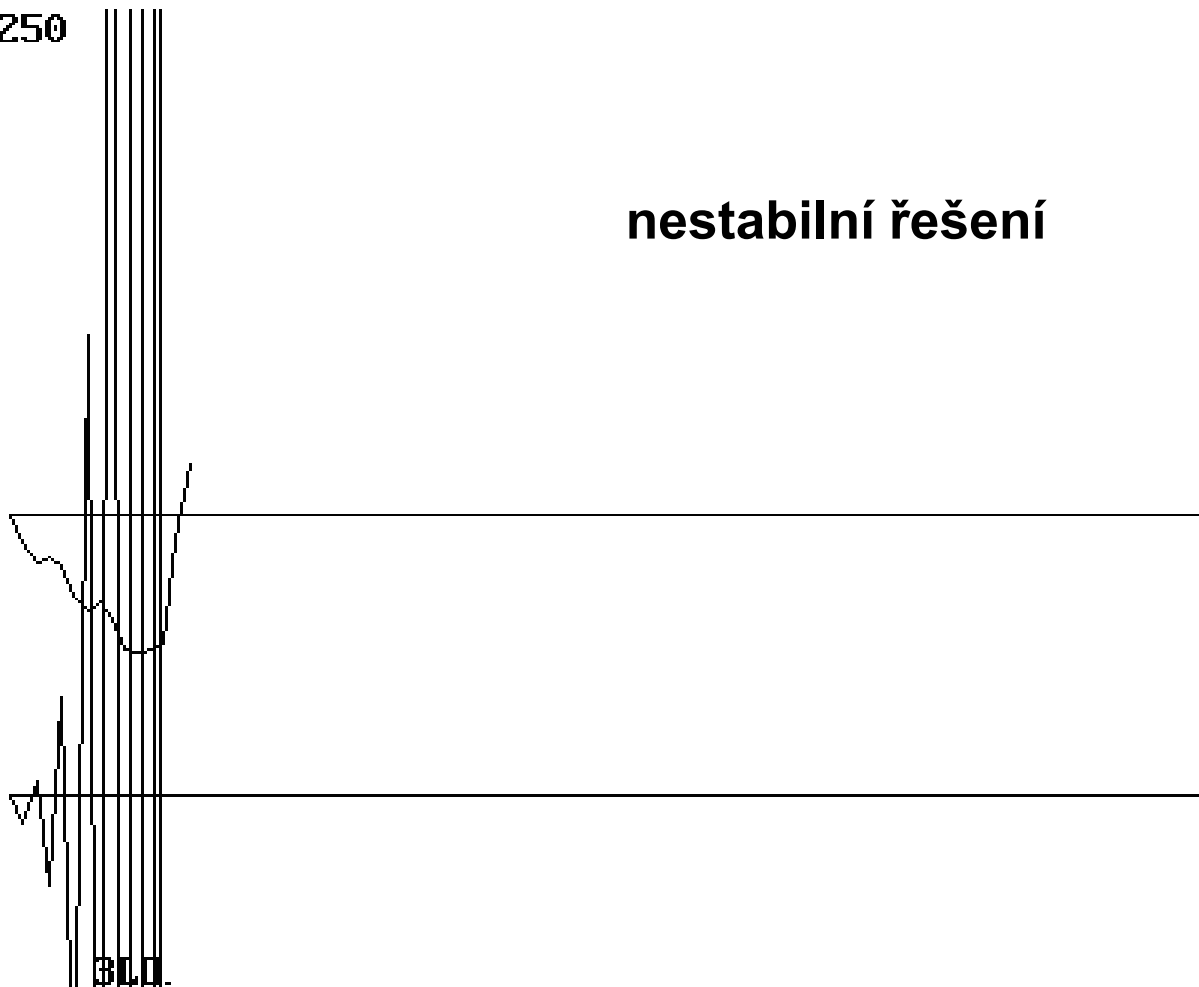
$$\Delta t = 0.09 \text{ sec} > \Delta t_{crit}$$

Overflow in 250

Ok



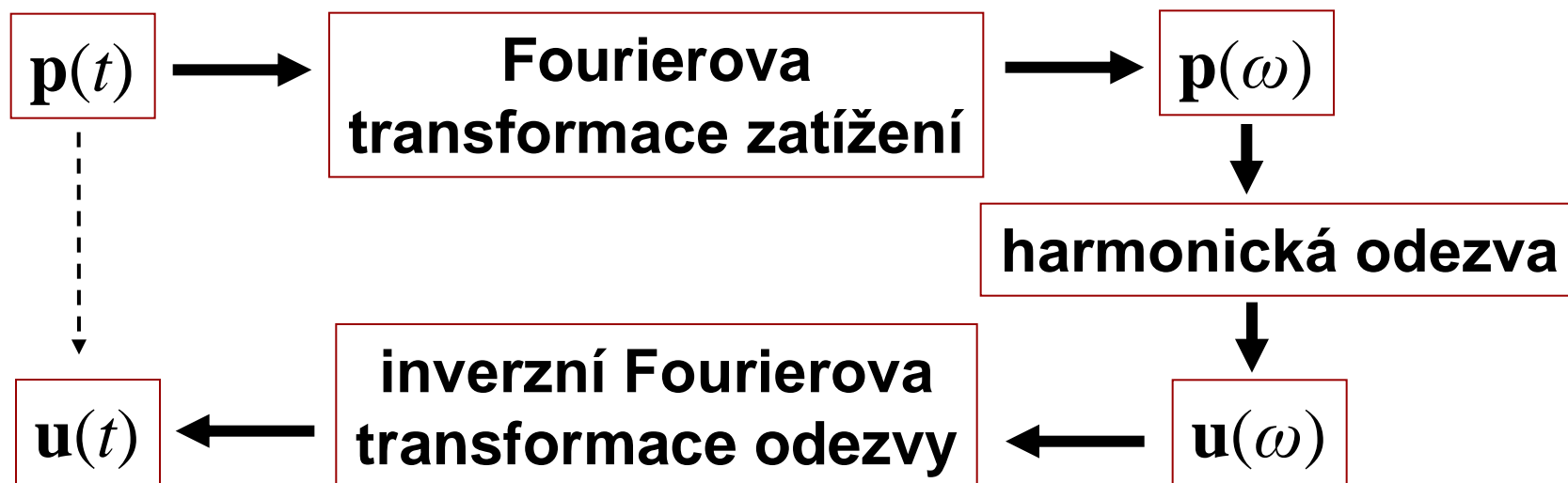
nestabilní řešení



4. Analýza ve frekvenční oblasti

základní idea:

- 1) zatížení se převede z časové oblasti pomocí Fourierovy transformace do oblasti frekvenční
- 2) provede se výpočet odezvy na jednotlivé harmonické složky zatížení
- 3) pomocí inverzní Fourierovy transformace se odezva převede z frekvenční oblasti do časové oblasti



4. Analýza ve frekvenční oblasti

Odezva na harmonické zatížení – ustálené kmitání:

- přímé řešení vyjádřením odezvy pomocí amplitudy a fáze
- řešení rozkladem do vlastních tvarů kmitání

4.1 Ustálené kmitání – přímé řešení

$$\mathbf{K} \mathbf{u}(t) + \mathbf{C} \dot{\mathbf{u}}(t) + \mathbf{M} \ddot{\mathbf{u}}(t) = \mathbf{p}(t) \quad \left\{ \begin{array}{l} \mathbf{p}(t) = \mathbf{p}_S \sin \omega t + \mathbf{p}_C \cos \omega t \\ \mathbf{u}(t) = \mathbf{u}_S \sin \omega t + \mathbf{u}_C \cos \omega t \end{array} \right.$$

$$\begin{array}{l} (\mathbf{K} - \omega^2 \mathbf{M}) \mathbf{u}_S - \omega \mathbf{C} \mathbf{u}_C = \mathbf{p}_S \\ \omega \mathbf{C} \mathbf{u}_S + (\mathbf{K} - \omega^2 \mathbf{M}) \mathbf{u}_C = \mathbf{p}_C \end{array}$$

→ $\mathbf{u}_S ; \mathbf{u}_C$

soustava $2N$
algebraických rovnic
(N = počet st. volnosti)

k -tá složka vektoru $\mathbf{u}(t)$

$$u_k(t) = u_{Sk} \sin \omega t + u_{Ck} \cos \omega t = u_k \sin(\omega t + \varphi_k)$$

$$\left\{ \begin{array}{l} u_k = \sqrt{u_{Sk}^2 + u_{Ck}^2} \\ \varphi_k = \arctan \frac{u_{Ck}}{u_{Sk}} \end{array} \right.$$

výhoda: libovolná matice útlumu



4. Analýza ve frekvenční oblasti

4.2 Ustálené kmitání – rozklad do vlastních tvarů

Pro normované vlastní tvary a klasický útlum platí:

$$\mathbf{K} \mathbf{u}(t) + \mathbf{C} \dot{\mathbf{u}}(t) + \mathbf{M} \ddot{\mathbf{u}}(t) = \mathbf{p}(t) \quad \longleftarrow \quad \mathbf{u}(t) = \sum_{i=1}^N \boldsymbol{\phi}_i q_i(t)$$

$$\omega_i^2 q_i(t) + 2\xi_i \omega_i \dot{q}_i(t) + \ddot{q}_i(t) = \boldsymbol{\phi}_i^T \mathbf{p}(t) \quad \left\{ \begin{array}{l} \mathbf{p}(t) = \mathbf{p}_S \sin \omega t + \mathbf{p}_C \cos \omega t \\ q_i(t) = q_{iS} \sin \omega t + q_{iC} \cos \omega t \end{array} \right.$$

$$\begin{cases} (\omega_i^2 - \omega^2) q_{iS} - 2\xi_i \omega_i \omega q_{iC} = \boldsymbol{\phi}_i^T \mathbf{p}_S \\ 2\xi_i \omega_i \omega q_{iS} + (\omega_i^2 - \omega^2) q_{iC} = \boldsymbol{\phi}_i^T \mathbf{p}_C \end{cases}$$

$$\longrightarrow q_{iS} ; q_{iC}$$

N soustav algebraických rovnic pro 2 neznámé ($N =$ počet st. volnosti)

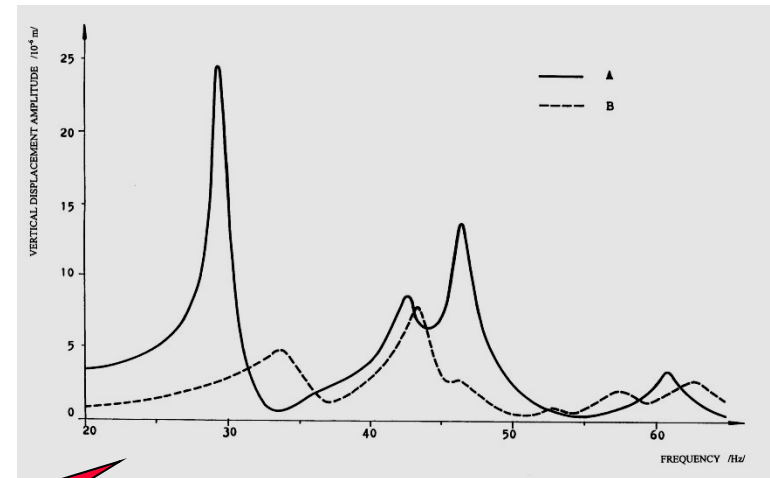
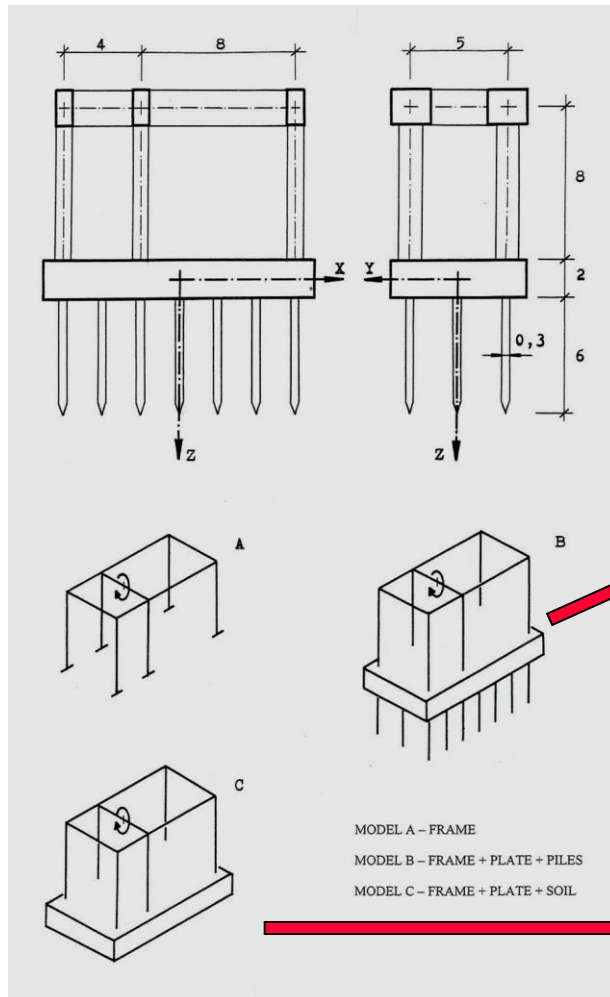
$$q_i(t) = q_{iS} \sin \omega t + q_{iC} \cos \omega t = q_i \sin(\omega t + \varphi_i) \quad \left\{ \begin{array}{l} q_i = \sqrt{q_{iS}^2 + q_{iC}^2} \\ \varphi_i = \arctan \frac{q_{iC}}{q_{iS}} \end{array} \right.$$

výhoda: obvykle ($P \ll N$) soustav rovnic pro 2 nezn.

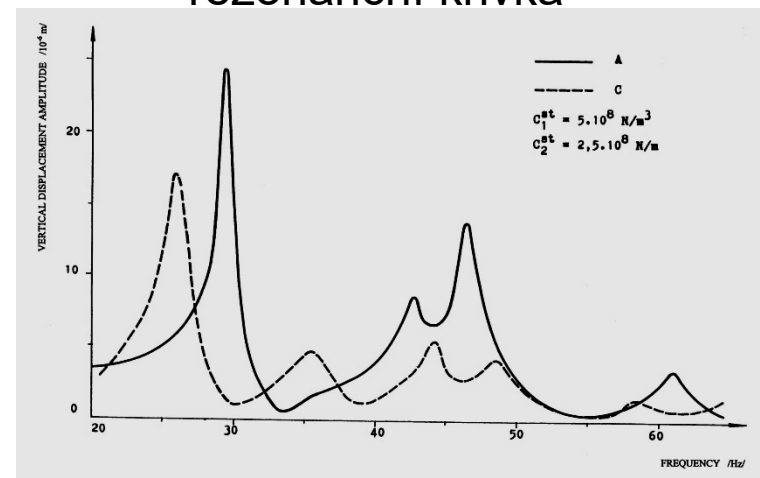


5. Příklady

5.1 Odezva základu turbosoustrojí na harmonické zatížení

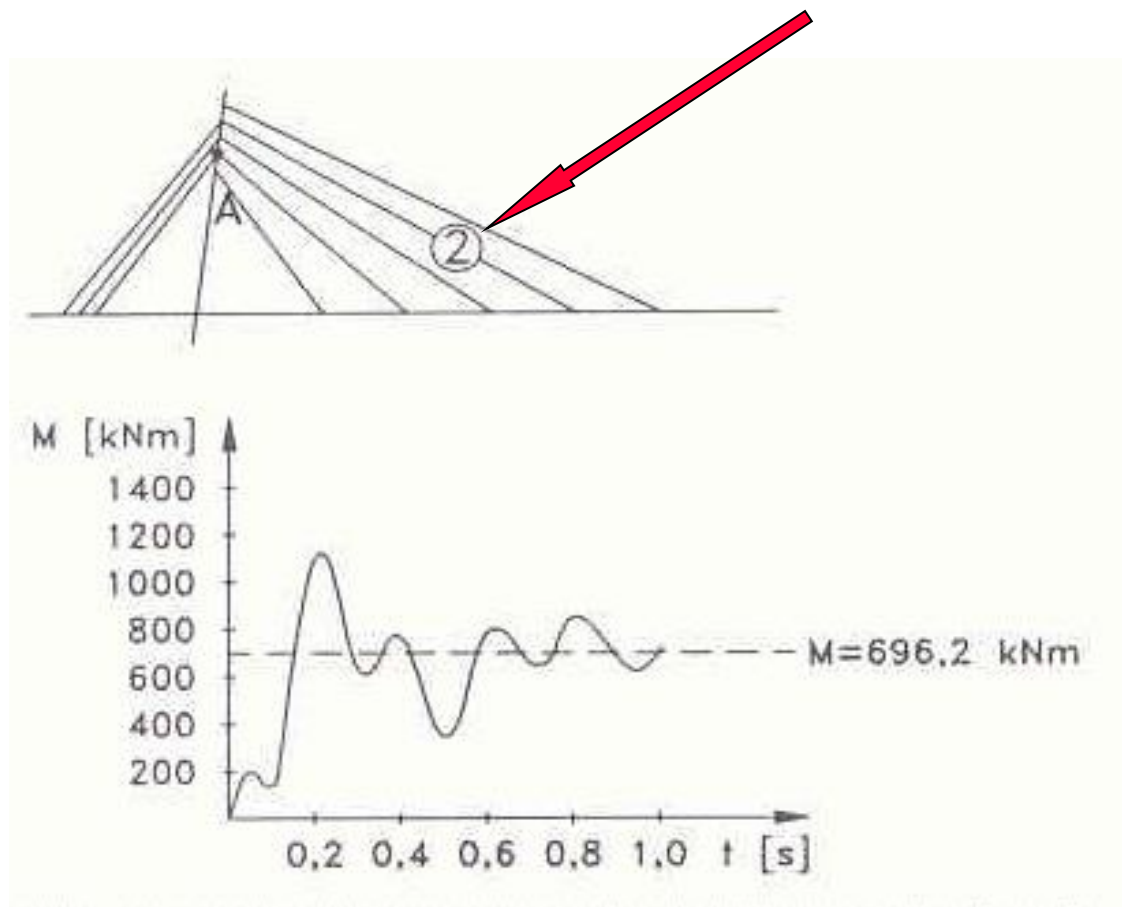


rezonanční křivka



5. Příklady

5.2 Zavěšený most – náhlé přerušení závěsu



statická hodnota

časový průběh ohybového momentu v bodě A